

智 拓 仪 器 教 育 部

技术部

JC SCIENCE & TECHNOLOGY CO., LTD.

LCD模块 SMG12864与MSP430的接口应用

智拓仪器教育部：致力于：嵌入式培训领域

主营：学习板，电子模块，学习套件，解决方案与成果转让与技术服务

欢迎登陆网站：www.ourjcdz.com www.ztyiqi.com



LCD 模块 SMG12864 与 MSP430 的接口及应用

刘 莉¹, 钟 金², 王 维¹

(1. 长沙理工大学 湖南长沙 410076; 2. 中南大学 湖南长沙 410083)

摘要:介绍了显示终端的设计方法,并根据 SMG12864 点阵液晶显示模块的特点,结合 MSP430 超低功耗单片机,论述了点阵液晶显示的编程方法,给出了 SMG12864 与 MSP430F149 的硬件接口电路和显示程序流程图。此终端具有硬件电路简单、紧凑的特点。实践证明,他比一般数码显示终端功耗降低幅度较大,运行可靠,在智能人工腿系统中得到了很好的应用。

关键词:液晶显示;MSP430 微处理器;SMG12864;接口

中图分类号:TN87

文献标识码:B

文章编号:1004-373X(2007)07-169-03

Interface of SMG12864 LCD Module with MSP430 and Its Application

LIU Li¹, ZHONG Jin², WANG Wei¹

(1. Changsha University of Science and Technology, Changsha, 410076, China;
2. Central South University, Changsha, 410083, China)

Abstract: This paper presents a design method for a kind of display terminal and explains the programming method of dot-matrix LCD according to characteristics of SMG12864 LCD module and MSP430F149 single chip. The hardware interface circuit of SMG12864 LCD module with MSP430F149 and the display program flow chart are given. The terminal makes the connection scheme easy and brief. Compared with those common digital display method, the system has many definite advantages such as lower power consume, higher reliability and it is applied successfully in the intelligent artificial leg system.

Keywords: LCD; MSP430 microprocessor; SMG12864 LCD; interface

1 引言

作为仪器仪表的信息显示及人机交互的界面,LCD 液晶显示器件具有低压、低功耗、信息显示量大以及使用寿命长等特点。近年来,随着电子技术和集成电路制造工艺的飞速发展,LCD 器件已成为当代信息产业中最重要的信息处理手段之一。同时,越来越多的领域应用到以单片机为控制核心、用 LCD 作为显示终端的便携式数字化设备。

本文源自国家自然科学基金和教育部博士点基金资助的智能仿生人工腿 CIP-I Leg 系统中手持遥控器的设计。手持遥控器是截肢者向人工腿发送控制指令的惟一通道。同时也是了解人工腿运行状况的一扇窗口。在安装之初,安装人员需要用它为使用者设定运行参数,在以后的使用过程中使用者还可以用它来对运行参数进行调整,以便使人工腿能够更好地跟随正常腿的运行,保持步态的协调性。该控制器以微控制器为中心分为三大功能模块,即显示模块、按键模块和红外通信模块,如图 1 所示。由于篇幅有限,本文仅对显示模块做详细介绍。这里选用了长沙太阳

人电子有限公司的 SMG12864 点阵液晶显示模块与美国 TI 公司超低功耗单片机 MSP430F149 来构成显示终端,完成接收数据和显示信息功能。

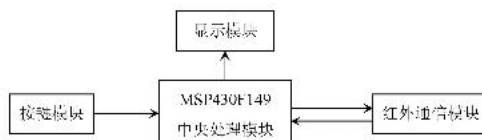


图 1 手持遥控器原理框图

2 MSP430F14X 微控制器简介

MSP430F14X 微控制器是德州仪器公司新开发的一类具 16 位总线的单片机,他基于真正的正交 16 位 RISC CPU 内核,具有 16 个可单周期全寻址的 16 位寄存器,仅 27 条的精简指令以及 7 种均采用双重取数据技术 (DDFT) 的一致性寻址方式。DDFT 技术利用每个时钟脉冲对存储器进行两次数据存取操作,从而不再需要复杂的时钟乘法和指令流水线方案。

MSP430F14X 系列 MCU 具有丰富的片上外围模块,片内包括有精密硬件乘法器、多达 60 kB 的 FLASH,2 kB 的 RAM、1 个看门狗、6 个 P 口 (P1 和 P2 还具有中断功能)、12 位 A/D 转换器、2 个 16 位定时器、高精度比较器、

收稿日期:2006-09-26

高速的 USART 通信端口 ,1 个 DCO 内部振荡器和 2 个外部时钟等常用资源 , 可实现对液晶显示器的检测、解调和显示。与现代程序设计技术以及高级语言(如 C 语言)结合使用 ,使得 MSP430 的体系结构更加高效 ,从而在工程技术 ,特别是 PDA 产品开发中得以广泛应用。

3 SM G12864 液晶显示模块简介

SM G12864 是一种 128×64 点阵(EL 背光)的液晶显示器。芯片工作电压为 $4.5 \sim 5.5$ V(模块最佳工作电压为 5.0 V) ,工作电流为 3.0 mA(5.0 V)。

3.1 SM G12864 的显示内存

模块内自带 2 个液晶显示驱动芯片 , 分别控制显示屏的左区和右区。每个驱动芯片带有 64×64 位(512 B)的 RAM 缓冲区(对应关系如图 2 所示) , 其中存储的数据即为被显示内容的点阵信息。通过选择对应的 RAM 页地址和列地址 , 微控制器可以访问全部 RAM 字节。显示 RAM 的每一位对应显示屏上的一个点。显示的实现 , 就是显示 RAM 内容中相应位为 1 , 该点阵亮 , 相应位为 0 , 该点阵无显示。对存储器的读取是从头至尾的 , 但在屏幕上显示的位置是可以设置的 , 通过对显示起始行的设定来设定显示位置。

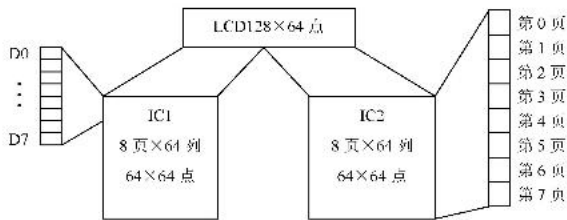


图 2 显示缓存 RAM 结构图

3.2 SM G12864 的外部接口信号

SM G12864 的 8 位并行数据接口与微控制器相连接 , 整个模块有 20 个外接引脚 , 大致分电源引脚、数据引脚和控制引脚 3 种 , 详细定义见表 1 。

表 1 显示模块引脚功能说明

编号	符号	引脚说明	编号	符号	引脚说明
1	VSS	电源地	11	DB4	Data I/O
2	VDD	电源正极(+5 V)	12	DB5	Data I/O
3	V0	液晶显示偏压输入	13	DB6	Data I/O
4	D/I	数据/命令 选择端(H/L)	14	DB7	Data I/O
5	R/W	读写控制 信号(H/L)	15	CS1	片选 IC1 信号
6	E	使能信号	16	CS2	片选 IC2 信号
7	DB0	Data I/O	17	RST	复位端(H:正常 工作,L:复位)
8	DB1	Data I/O	18	VEE	提供 LCD 驱动 电源(-10 V)
9	DB2	Data I/O	19	EL-E	EL 使能端 (低电平有效)
10	DB3	Data I/O	20	NC	悬空

3.3 指令说明

(1) 初始化设置

表 2 显示开/关设置

指令码	功能
3EH	关显示
3FH	开显示

(2) 显示初始行设置

表 3 初始化指令说明

指令码	功能
C0H	设置显示初始行

(3) 数据控制

控制器内部设有一个数据地址页指针和一个数据地址列指针 , 用户可通过他们来访问内部的全部 512 B RAM 。

表 4 数据指针设置指令

指令码	功能
B8H + 页码(0~7)	设置数据地址页指针
40H + 列码(0~63)	设置数据地址列指针

(4) 基本操作时序

① 读状态 :

输入 :D/I = L ,CS1 或 CS2 = H ,R/W = H ,E = H ;

输出 :D0 - D7 = 状态字

② 写指令 :

输入 :D/I = L ,CS1 或 CS2 = H ,R/W = L ,E = 高脉冲 ,
D0 - D7 = 指令码 ;

输出 : 无

③ 读数据 :

输入 :D/I = H ,CS1 或 CS2 = H ,R/W = H ,E = H ;

输出 :D0 - D7 = 数据

④ 写数据 :

输入 :D/I = H ,CS1 或 CS2 = H ,R/W = L ,E = 高脉冲 ,
D0 - D7 = 数据处 ;

输出 : 无

(5) 状态字说明

表 5 状态表

STA7 D7	STA6 D6	STA5 D5	STA4 D4	STA3 D3	STA2 D2	STA1 D1	STA0 D0
STA0 - 4	未用						
STA5	液晶显示状态						1:关闭 0:显示
STA6	未用						
STA7	读写操作使能						1:禁止 0:允许

4 硬件电路设计

显示终端的主要功能是从人工腿控制器接收信息 , 我们在设计时采用了两种通讯方式 , 即无线红外通信和有线方式(RS 232) , 如图 3 所示。利用 MSP430F149 的两个串

口分别对应有线和无线接收方式。电路中用MSP430F149的串口接收腿上控制器传来的数据,处理后,再通过单片机的I/O口送给LCD进行显示。图中,MSP430F149的P4.0,P4.1为LCD左右半屏的片选信号CS1,CS2,P4.2为读/写控制信号,P4.3和P4.4分别为LCD的E使能信号及D/I选择信号,P4.5接复位端口,P3口作为LCD显示数据(或指令)通讯口。MSP430F149的两个外部时钟分别接低速时钟32 768 Hz和高速时钟8 Hz,为系统的不同模块提供不同的工作频率。

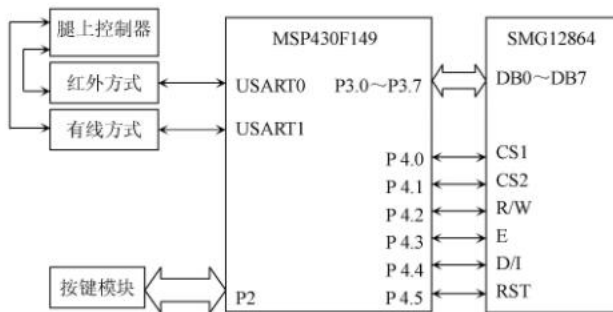


图3 显示终端硬件电路

本系统是一个混合电压系统,我们设计两节5号电池(3 V)供电。MSP430F149采用3.3 V供电,而SMG12864的工作电压为5 V。因此,我们使用MAX1674芯片通过不同的外围电路来把电池的3 V提升到3.3 V和5 V,分别给电路中的元器件供电。另外,在硬件电路设计过程中还要注意一点,MSP430系列的供电电压为1.8~3.6 V,通常取典型电压为3.3 V,所以I/O口的最大逻辑电平也是3.3 V。在进行MSP430微控制器设计时,除了控制器本身还有很多外围的模块和芯片。如果外围芯片或者模块的工作电压也是3.3 V,那么就可以直接接口。但是由于现在很多芯片的工作电压都是5 V,如LCD SMG12864。因此就存在一个如何将3.3 V MSP430与5 V芯片或模块可靠接口的问题。事实上5 V TTL器件驱动MSP430或者MSP430与5 V CMOS器件接口时,二者是不能直接相连的。在这种情况下,必须要经过3.3 V与5 V电平的相互转换。这里我们采用TI的双电压(一边是3.3 V,另一边是5 V)供电双向驱动器SN74ALVC4245来实现电平转换,较好地解决了3.3 V与5 V电平的转换问题。

5 软件实现

MSP430F149单片机通过按键中断给腿上控制器发去控制信息,腿上控制器接收到数据后给单片机以应答,MSP430再驱动LCD显示相关操作以及系统提示信息等。由于该软件设计的专用性,需要显示的汉字、数字都是固定的,所以我们将要显示的内容设计成数据块(数据块中是一屏要显示汉字、数字的点阵码),直接固化到FLASH中。当要显示时,即可将给数据块作为显示数据通过显示驱动程序发送至LCD的显示RAM缓冲区里。这种方法

占用空间少,程序实现简单且显示速度快。

对接收到的数据汉字采用16×16的点阵,显示流程图如图4所示。一个16×16点阵汉字数据格式是前16个字节为汉字的上半部16×8点阵数据,后16个字节为下半部点阵数据。在汉字显示设置页地址时,如果显示的是汉字的后16个字节,需要使页地址在当前基础上加1;如果需要显示的汉字列数达到63时,要通过片选信号CS2来选择IC2控制芯片,对他的读写操作同IC1。

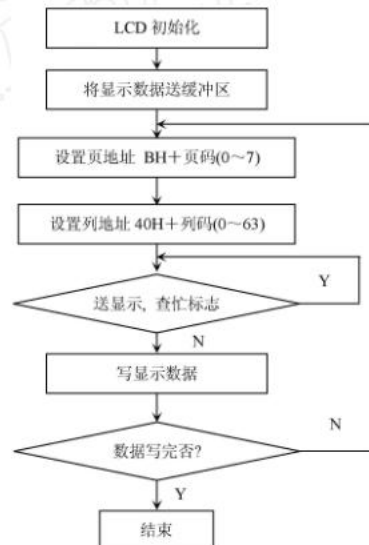


图4 显示流程图

另外,MSP430F149的I/O口是典型的复用端口,在对LCD读写操作前要进行功能选择,即设置P2口为输入口(键盘),P4(LCD控制口)为输出口,P3(数据口)根据需要设置为输入或输出。如果使用MSP430F149芯片内部DCO作为系统时钟,由于MSP430F149内部没有锁频环数字逻辑电路,为了得到准确的时钟信号需要通过软件进行“软锁频”,利用32 768 Hz晶振和Timer-A或Timer-B的捕获比较功能可以实现。主频的选择将影响LCD显示的稳定性。如果程序中E控制信号(P4.3)有效时间过短的话,显示的效果将会不稳定,所以程序中对E信号适当延时。由于整个控制器是由电池来供电的,而LCD液晶屏由于有背光等,比较消耗电能。为了延长电池的使用寿命,我们在设计控制器时必须考虑尽量降低功耗。在一定时间内没有操作时,MSP430F149可以由软件设置进入低功耗模式来降低功耗。同时给液晶屏发出控制信号关闭背光灯,依此来达到尽量降低功耗的目的。

6 结语

SMG12864的指令集简单,编程方便,MSP430F149集成许多通用模块,I/O资源丰富,能直接驱动液晶显示模块,二者接口电路简单,可以很好地实现低功耗的人机界面,加之TI公司提供的JTAG口在线仿真功能,能够大

(下转第174页)

3.4 浮点运算的硬件实现

BP 神经网络算法中包含大量的加、减、乘、除浮点运算,浮点运算在高级语言中使用很方便,但是通过硬件来实现就比较复杂,所以大多数的 EDA 软件目前还不支持浮点运算,相应的运算器件只能自行设计,重点考虑运算精度、运算速度、资源占用以及设计复杂度等。

在浮点数字信号处理器中,数据表示成 2 的指数形式,即:

$$x = (-1)^{xs} \cdot xm \cdot 2^{xe}$$

其中, xs 为符号位; xm 为尾数部分, 表示为纯小数; xe 为指数部分, 表示为纯整数。

通过上式的变换后,文献[8]中给出了浮点加减运算实现详例,文献[9]给出了浮点乘法器的实现过程,按照文献中所提方法本文在神经网络模块库的建立过程中实现了权值乘法及输入信号累加的浮点运算。

4 结语

考虑到神经网络模型的专用性和可扩展性,本文选择 Altera 公司 CPLD 的 FLEX 10K 系列实现了神经网络模型的硬件仿真。CPLD 具有高性能、高集成度、低成本、开发周期短、可反复擦写和可在线编程等优点。用 CPLD 实现的芯片具有工作速度快、输入输出接口灵活的特点,而且几乎可以和任何形式的并行、串行接口以及并行、串行 A/D 或 D/A、DSP 等连接,便于实现嵌入式系统。

本文提出了一种基于 CPLD 和 BP 神经网络的模拟电路故障诊断算法,该算法可以迅速实现电子设备中的故障诊断。相对于传统故障字典法,更高速、高效,具有较高的

实用价值。本算法也可以方便地改进为在线形式,在训练神经网络时将激励源的电压和频率设定为与待测电路工作电压和频率相同,然后进行训练即可。但是该算法目前在 CPLD 资源配置和浮点运算方面还存在一些不足,需要进一步改进方可用于实现具体的嵌入式诊断系统。

参 考 文 献

- [1] 杨士元. 模拟系统的故障诊断与可靠性设计 [M]. 北京: 清华大学出版社, 1993.
- [2] 厉芸, 何怡刚, 徐卫林, 等. 基于 BP 神经网络的大规模电路模块级故障诊断快速诊断方法 [J]. 电路与系统学报, 2005, 10(4): 12 - 15.
- [3] 韩少锋, 王国峰, 许苗, 等. 基于 FPGA 的神经元自适应 PID 控制器设计 [J]. 电子设计应用, 2005, 31(2): 65 - 67.
- [4] 沈宪明, 白瑞林, 章智慧. FCMZC 的 FPGA 实现分析及其控制作用 [J]. 计算机应用, 2006, 26(8): 1990 - 1992.
- [5] 刘利强. 子网络级故障诊断的神经网络实现及诊断实验系统设计 [D]. 呼和浩特: 内蒙古工业大学, 2003.
- [6] 全钢, 郭江华, 梁述海. 基于 VHDL 的神经网络模型库的建立与实现 [J]. 微计算机信息, 2002, 18(7): 70 - 71.
- [7] Ma Xiaobin, Jin Lianwen, Shen Dongsheng, et al. A Mixed Parallel Neural Networks Computing Unit Implemented in FPGA [A]. IEEE Int. Conf. Neural Networks & Signal Processing, Nanjing, China, 2003: 324 - 327.
- [8] Chokri Souani, Mohamed Abid, Rached Tourki. An FPGA Implementation of The Floating Point Addition [A]. Industrial Electronics Society, 1998: 1644 - 1648.
- [9] 李国峰. 基于 VHDL 语言的浮点乘法器的硬件实现 [J]. 南开大学学报, 2002, 35(4): 111 - 112, 116.

作者简介 刘利强 男, 1975 年出生, 内蒙古包头市人, 讲师。目前从事电子电路故障诊断方面的研究。

(上接第 171 页)

大缩短研制周期。基于单片机 MSP430F149 的液晶显示终端在人工腿手持遥控器系统中得到很好的应用,同时也可用于其他便携设备,满足不同的应用需要。

参 考 文 献

- [1] 胡大可. MSP430 系列 FLASH 型超低功耗 16 位单片机 [M]. 北京: 北京航空航天大学出版社, 2001.
- [2] 李维, 是, 郭强. 液晶显示器件应用技术 [M]. 北京: 电子工业出版社, 2000.
- [3] 胡大可. MSP430 系列单片机 C 语言程序设计与开发 [M]. 北京: 北京航天航空大学出版社, 2003.
- [4] 谭冠政, 吴立明. 国内外人工腿(假肢)研究的进展及发展趋势 [J]. 机器人, 2001, 23(1): 91 - 96.

势 [J]. 机器人, 2001, 23(1): 91 - 96.

- [5] 长沙太阳人电子有限公司. SMG12864 使用说明书 [Z]. 2004.
- [6] 何立民. 单片机应用文集 [M]. 北京: 北京航空航天大学出版社, 1992.
- [7] 黄锡珉. 液晶显示技术的开发和产业化 [J]. 液晶与显示, 2002, 17(6): 403 - 415.
- [8] 王君立, 壮凌, 檀慧明. 液晶显示控制器的应用 [J]. 液晶与显示, 2003, 18(1): 31 - 34.
- [9] 魏小龙. MSP430 系列单片机接口技术及系统设计实例 [M]. 北京: 北京航空航天大学出版社, 2002.
- [10] 何为民. 低功耗单片微机系统设计 [M]. 北京: 北京航空航天大学出版社, 1994.

作者简介 刘 莉 女, 1981 年出生, 江西宜春人, 硕士研究生。研究方向为交通信息工程及控制。
钟 金 男, 1982 年出生, 湖南岳阳人, 硕士研究生。研究领域为智能机器人系统与控制。

